

コンピュータ・グラフィクスにおける 感性の挿入に関する研究

長江貞彦, 追合香一, 宮本貴朗(大阪府立大学)

1. はじめに

コンピュータ・グラフィクスによる生成画像の表示では、その処理時間などの制約もあり、通常は生成されたオブジェクト・スペース上の画像データを、そのまま画素の位置でサンプル表示することが多い。しかし、ある目的により、ではオブジェクト・スペース上の画像データを入力情報とし、此基础上に付加処理的操作を行すことによって、最終的に人間が望ましいと判断できる画像データの出力情報を得ることも可能である。この方法によれば、コンピュータ・グラフィクスの画像改善に役立つばかりでなく、人間の感性に馴染み易い画像の入出力に寄与しうる可能性を残さずであり、man-machine 系の interactive システムの開発につながるものと考えられる。

以下では、付加的処理に一部、表面収差による情報処理の手法を導入し、コンピュータと人間との対話を図りながら、人間の感性を挿入するための基本的な手法について、ひとつ提案を試みる。

2. 基本概念

コンピュータ・グラフィクスにおける CRT 画像のように、物体のある領域が 1 次光源であり、しかも各々の領域から発生する光は互に incoherent (非干渉) である場合は、処理計算の単純化からい、ても、幾何光学に基づく光線追跡法が波動光学や他の方法と比べて有利である。光線追跡法は、いわばピンホール・カメラの原理をもとにしたコンピュータ処理による立体表現の画像にシミュレーションしたもので、出回時間の長いさえ気にしなければ、パーソナル・コンピュータでも処理できる極めて応用範囲の広い、便利な方法である。

しかし、このようにして得られる画像は、一般に S/N 比が従来の写真法などと比較して極めて高いため、かえり、人間の視覚的な特性から離れて、いわゆる“生きすぎた絵”として印象される傾向がある。例えれば、着物の柄をコンピュータ・グラフィクスで創作した場合、出来あがった实物はどうしても「整」すぎた、力がないイメージが残るなり、テレビのアニメーション画像では、背景と主体との間に、いわゆる絵画ではう圍囲の空気、不可少の“氣氛”を感じられず、人間の感性には、ぬじめにくく画像しか得られないといふ特性がみられる。

この問題を解決する方法として、2 値表示装置に中間調(ハーフトーン)を表示するディザ法(dithering)もあり、そのうち、特に多値乱数(雑音)による変化させたランダム・ディザ法が提唱されている。この方法は画像信号(多値)を点描的出力に変化させるもので、一般的にコントラストは低下するものの、S/N 比を適当にコントロールすることにより、人間の視覚に関する特性にぬじめ易くする効果を図るものと考えられる。

その他、より完全な中間調の画像を得るために、多重露光法による光学的重

4つめ加算を行う方法もあり、写真技術の動力と、処理時間の長ささえいとゆでれば、上記のディザ法と同様、S/N比を適当にコントロールする方法として有効と思われる。

本研究では、波動光学における fresnel と fraunhofer 回折現象を、実際には起り得る部分に、あえて利用することにより、人間の感性による「易」画像を求めようとするものである。これはあたかも油絵における、バックと対象物との境界の処理に、両者の領域を互に「く」こませながら、対象物の存在感を主張する場合と似ている。この技法は、例えば図1のような角柱どうしの相対体の表示における、バックと両角柱の面との境界はもとより、①と②、および②の shade(陰) はもともと、③の shadow(影) に適用されるべきはもともと、それらの区別や、バックとの距離 12 オーバーを、画像の調子を変えることになる。また、日常生活における、対象物が風化した感じの、いわゆる“ウェザリング”や、写真などで体験するハレーションの感じも処理でき、可能性を残している。現下では、ピクセル内での情報は限界があるが、その問題をあえて修正することはより、全体としては、それらしい分団気を出すことも可能だと思われる。

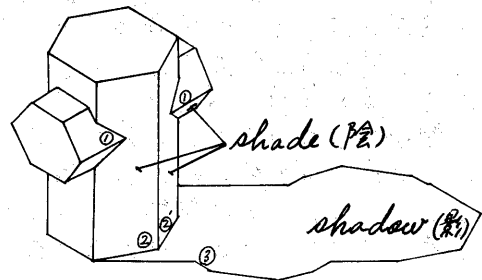


図 1

3. 波面収差の求め方²⁾

3.1 incoherent 照明

いま、物体上の異なる点から出る光が、互に干渉しない光で照明される場合を考える。一般に、物体上の点の座標を (x_0, y_0) とするとき、二点を中心とする領域 $d\mathbf{x}_0 d\mathbf{y}_0$ から画像平面に達する光の強度分布は、文献²⁾より

$$I_1(x_1, y_1) = \int_{-\infty}^{\infty} \int_{-\infty}^{\infty} I_0(x_0, y_0) |K(x_1 - x_0, y_1 - y_0)|^2 d\mathbf{x}_0 d\mathbf{y}_0. \quad (1)$$

で表わされる。ここに K は利用する系の開口に関する遮光関数 G (後述) による光の透過程数で、一般には複素関数で表わされる。ところが式(1)は incoherent 照明の場合¹²⁾、画像の強度分布が物体の強度分布と透過程数の絶対値の 2乗との左右対応の積分 (convolution) である。さて、この関数は Fourier 積分の形で表わすと、 I_0 は

$$g_0(f; g) = \int_{-\infty}^{\infty} \int_{-\infty}^{\infty} I_0(x_0, y_0) \exp 2\pi i (fx_0 + gy_0) d\mathbf{x}_0 d\mathbf{y}_0. \quad (2)$$

となり、式(1)に I_1 と K は、式(3)と式(4)と同等。すなはち、

$$J_1(f, g) = \int_{-\infty}^{\infty} \int_{-\infty}^{\infty} I_1(x_1, y_1) \exp 2\pi i (fx_1 + gy_1) dx_1 dy_1 \quad (3)$$

$$K(f, g) = \int_{-\infty}^{\infty} \int_{-\infty}^{\infty} |K(x, y)|^2 \exp 2\pi i (fx + gy) dx dy \quad (4)$$

したがって、左の2式が積分の定理を應用すると

$$J_1(f, g) = J_0(f, g) K(f, g) \quad (5)$$

が得られる。これは、物体上の点から画像への光の強度分布は出力の情報と同一入力の情報をもつ。とするとき、 K という線型フィルタを通してこれがわかる。いふかえれば、最終的な画像として望む $I_1(x, y)$ の分布は、いかゆる画像入力の $I_0(x, y)$ を Fourier 変換して、強度の空間周波数スペクトラル $J_0(f, g)$ を用いて付加的干渉 (フィルタリング) 2. 周波数変調 $J_0(f, g) \cdot K(f, g)$ とすることにより、 $J_1(f, g)$ のコントロールが可能となる。したがって、この $K(f, g)$ の正規化が画像の画質に関する決定に大きな保証をもつ。人間の感性を全く $K(f, g)$ に関連づけることは不可能で、かつ、無意味であるが、コンピュータ・グラフィックスの一部、例えば3次元物体の陰影、すなはち shade と shadow の境界に、強調する形で導入することは可能であると思われる。したがって、この $K(f, g)$ の正規化が画像の画質に関する決定に大きな保証をもつ。

以下、 $K(f, g)$ の想定をどうするかをみるが、まずは少し $K(f, g)$ を調べると

$$K(f, g) = \int_{-\infty}^{\infty} \int_{-\infty}^{\infty} k(f' + f, g' + g) k^*(f', g') df' dg' \quad (6)$$

で表される。ここで k^* は k の複素共役である。この右辺は、いかゆる関数 k の自己相關関数 (auto-correlation function) である。図 1 に示すように、

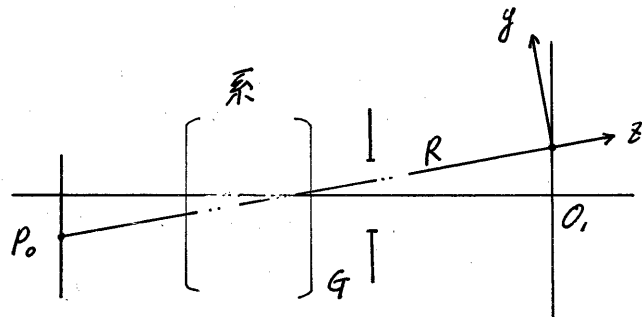


図 1

物体面 (x_0, y_0, z_0) 瞳 (x, y, z) 像面 (x, y, z)

$k(f, g)$ は利用する系の開口 A 間の瞳関数 G に等しいとし、 G の座標 (ξ, η, ζ) 、像面の座標 (x, y, z) とし、系の収差を無視すれば、次式を得る。

$$k\left(\frac{\xi}{\lambda R}, \frac{\eta}{\lambda R}\right) = \frac{1}{(\lambda R)^2} \int_{-\infty}^{\infty} \int_{-\infty}^{\infty} G(\xi + \xi', \eta + \eta') G^*(\xi', \eta') d\xi' d\eta' \quad (7)$$

ここに、入射使用する光の波長を λ 、 R は瞳面にかけた参照球面の像面上に至る半径(距離) $z''(\xi/\lambda R, \eta/\lambda R)$ は光学系のディメンションに依存しない下の無次元化による変換座標である。

3.2 O.T.F. の計算

式(7) は系の瞳関数の自己相関関数が、系の O.T.F. であるから系の周波数特性 (Optical Transfer Function) となる。したがって、この計算の過程には物体から瞳面に至る光路の光軸との入射角を、瞳面から像面に至る光路の光軸との射出角も十分に小さく、いわゆる“近軸光線の条件”が成立していざるものとしている。ここで z'' は、一部分の半波動光学の手法を用ひ、その結果を幾何光学に基づく光線追跡法へと適用するため、近軸光線の条件は始めから成立していざものとすれば、以下に具体的な O.T.F. の計算を行おう。

いま、図3に示すように射出瞳の領域を A とすれば、開口の外側 z' は瞳関数 $G(\xi', \eta')$ は 0 である。したがって、 ξ', η' 面にかけ式(7)の積分領域は開口 A と、 A と同じ形 z'' 、 η'' 方向に延伸される、 η'' が A に対して移動した領域と共通の部分(図中のハーフシングル部分)となる。また

z'' 、計算を簡単にすため、半径が a の円形開口の場合 $(\xi'^2 + \eta'^2) \geq a^2$ 、すなはち $(f^2 + g^2) \geq (2a/\lambda R)^2$ が成立するところ z'' は、2つの領域が重なるところから、瞳の内側 z'' は全ての光波を通過させたものとする。 $|G| = 1$ と正規化することが可能となる。このように、積分の領域を单纯化し、系は無収差の回転対称系(角度 θ だけ回転可) z'' 、直角 θ で A 、すなはち defocus の状態存在する場合の O.T.F. は計算が可能となる。この具体的な計算は後述する。

ところで、コンピュータ上では z'' 上に 2000×2000 用いられる光源は、一般に白色光源であるから、その波長の範囲は $0.4 \sim 0.7 \times 10^{-3} \mu\text{m}$ となる。

したがって、 $\lambda_1 = 0.4 \times 10^{-3} \mu\text{m}$ (B), $\lambda_2 = 0.6 \times 10^{-3} \mu\text{m}$ (G), $\lambda_3 = 0.7 \times 10^{-3} \mu\text{m}$ (R) とし、系の可視性 E は 2. に対し $a/R = 10^{-2} \text{ mm}$ とし、このとき、光源から視点方向、すなはち Z 軸の、被像面からの距離が、約 $1 \sim 30 \text{ mm}$ 前後分解能が約 $1 \sim 40/\text{mm}$ のレンジで計算が可能となる。したがって、系は回転対称系 z'' であるが、 $J_0(f, 0) = J_0(0, g)$ である z'' 、 z'' は - 広い、 $g = 0$ と $L/2$ 附近、 $Z \approx 10^3 \text{ mm} - 10^4 \text{ mm}$ で $J_0(f, 0)/J_0(0, 0) \approx 0.7$ と O.T.F. が 24% である。また 3 h , 8 h 固定 $L/2$, R を $L < 10^3 \text{ mm}$ と $L > 10^4 \text{ mm}$ とすると O.T.F. を求めることは可能である。

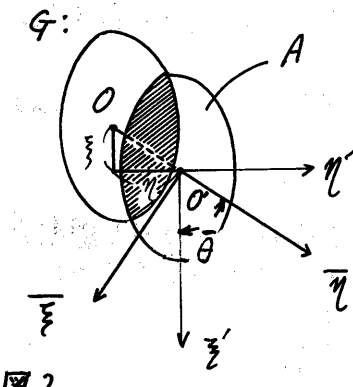
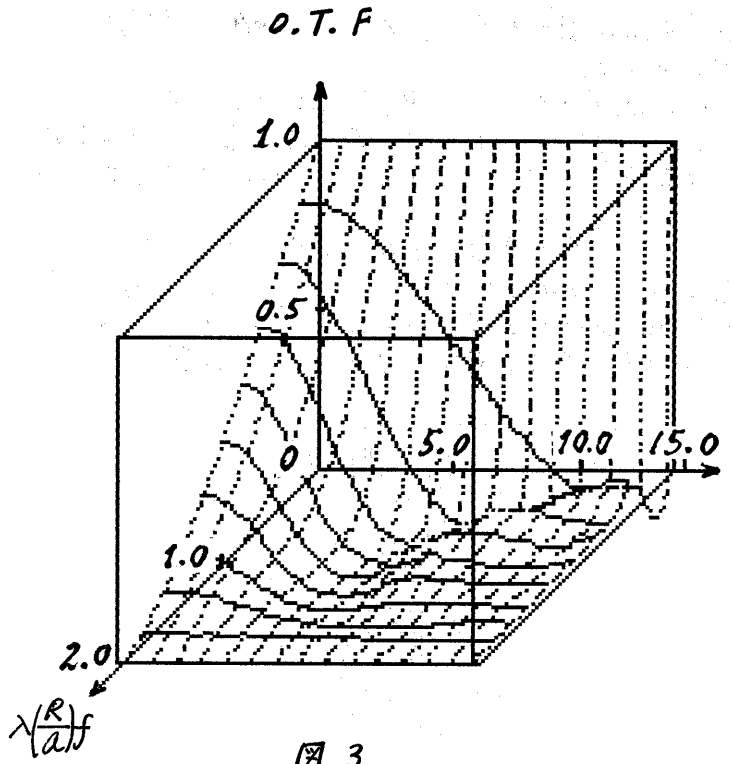


図3



アラタ-	O.T.F
$f \rightarrow \infty$	$O.T.F \rightarrow 1$
$\alpha \rightarrow \infty$	$O.T.F \rightarrow 1$
$R \rightarrow \infty$	$O.T.F \rightarrow 1$
$Z \rightarrow \infty$	$O.T.F \rightarrow 1$
$\lambda \rightarrow \infty$	$O.T.F \rightarrow 1$

→は、その傾向ありを示す。

$$\frac{\pi}{\lambda} \left(\frac{\alpha}{R} \right)^2 Z$$

[注] 従来のコンピュータグラフィックスでは O.T.F
が \rightarrow 大ほど、より画像と
見えらかでいい。しかし
ここでは、部分的に O.T.F
を小さくする方法をとる。

4. シミュレーション

例えば、右図の写真のように、明暗の
大きさと θ と r/a の関係で、しかも反射光が強い場合、
その部分でハルーションが起つ。2.
本来は暗い所で光が回り込んでいた。
しかし、そこでは、本来は暗い所まで、明る
く光って見える現象があり、同図に示す
ことは、ロータリエンジンのローター部
の面が鏡面であり、あまりにも明る過ぎ
て、周辺の情報を隠してしまっていいる。



図 4

以下、このよろずの場合をコンピュータグラフィックスで実現する方法を述べる。

アルゴリズム

- step 1 : ray-trace を行う。
- step 2 : 現在、得た I_{st} の画像に満足しないければ、step 3 で用ひる探索
の半径 r 、明暗の差 m 、step 4 で用ひる視点から見た物体面への
距離の差 ϵ を決定する。もし満足していれば、終了する。
- step 3 : m 行 n 列マトリックス上のピクセル ($i=0, \dots, m, j=0, \dots, n$)
の強度 $\{I_{ij}\}$ が、中心 (i, j) 半径 r の内点 (s, t) に対して $I_{st} > I_{ij}$,
 $I_{st} - I_{ij} \geq m$ かつ $r \leq R$ のとき step 4 へ移る。それ以外の
ピクセルに対する探索が終われば、step 2 へ戻る。ただし、探索を簡

单に73tの、図5a流中図に示してます。距離は無限大の
1ルンとし処理をいざ。

- step 4: $(i, j), (s, t)$ の法線ベクトル $\vec{N}_{ij}, \vec{N}_{st}$ と $\vec{C} (N_{st}, N_{ij}) / \|N_{st}\| \|N_{ij}\| = I_1$ のとき、物体表面上の平面は同一平面であるとみなす。つまり $(i, j), (s, t)$ は同じ視点と物体との距離 d_{ij}, d_{st} とする。

もし、 $(i, j), (s, t)$ が同一平面上であるとき、かつ、視点から物体への距離の差が ϵ より小さくとき、または $|d_{st} - d_{ij}| < \epsilon$ のとき、便法として fresnel の計算を取る。それ以外の場合には、同様に fraunhofer の計算を取る。そして step 3へ戻る。

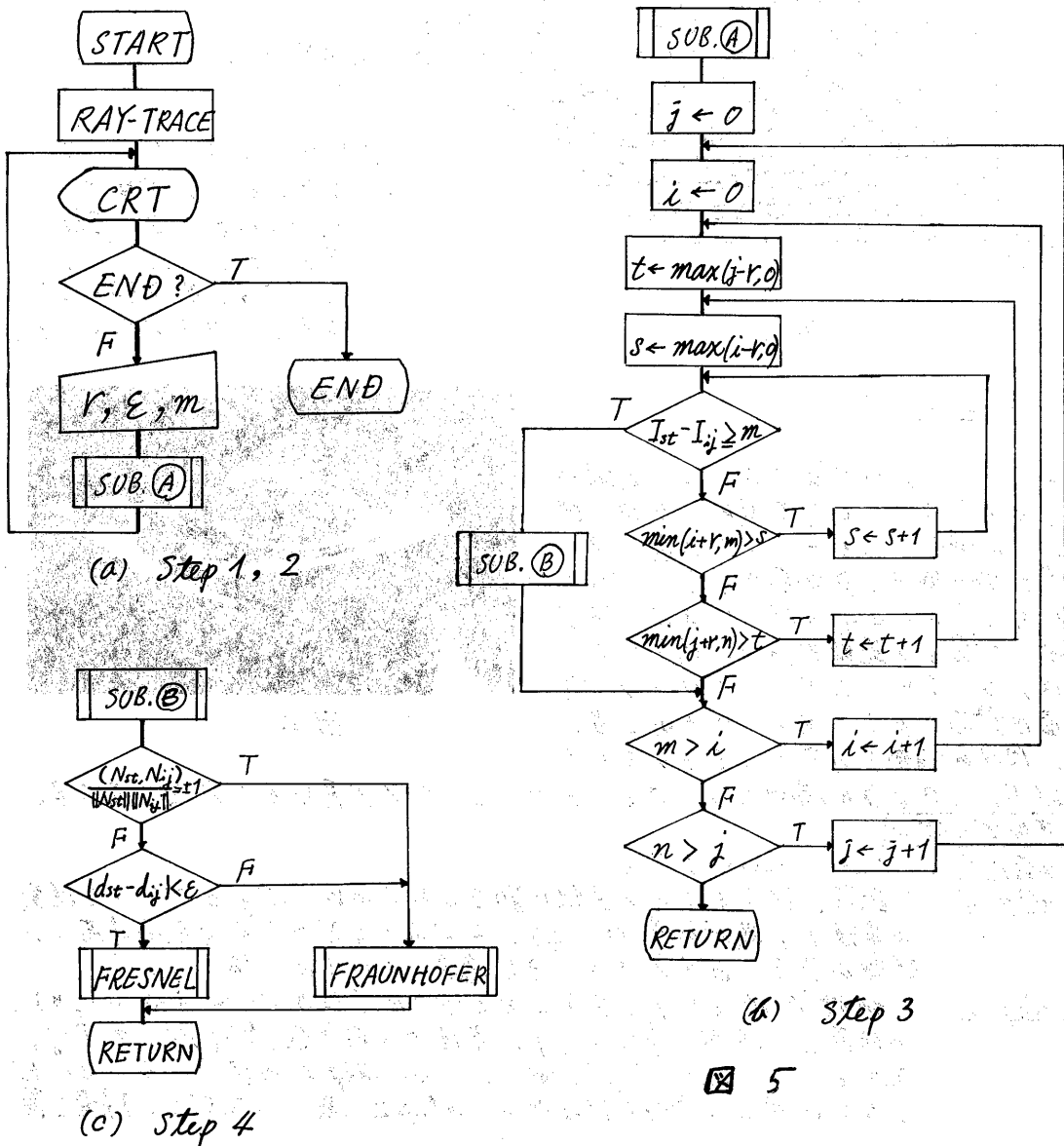
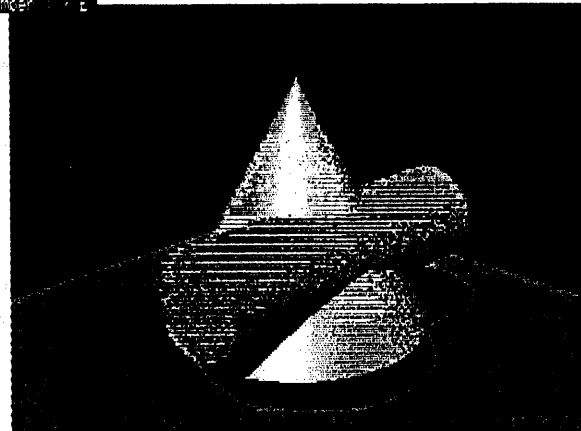


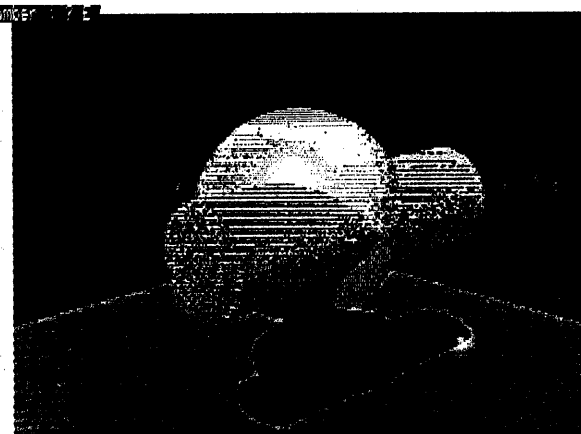
図 5

Data Number : 7 E



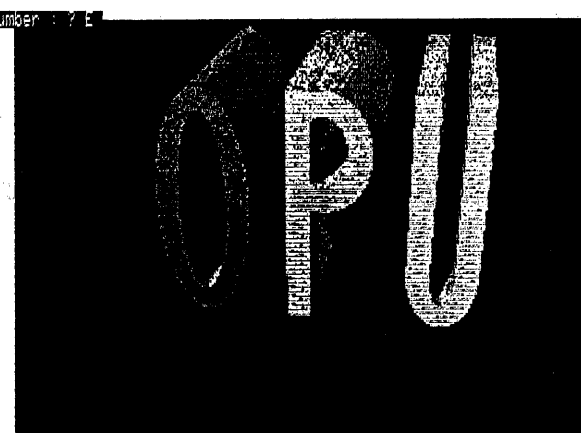
(a) 相貫体
(円錐と円柱)

Data Number : 7 E



(b) 相貫体
(球と円柱)

Data Number : 7 E



(c) OUI
(Osaka
Prefectural
University)

図 6

5. テスト・アンド・ラン

以下の所、予古顯著な効果をあげていいのが、対象物と序々に3画像は、あれより図6に示したF3Dモードである。一方、市販のマイクロ・コンピュータ用CRT上にカラー・ディスプレイしてあるが、ここでは白黒のみで示してある。光学的内操作による画像の合成もほぼ完成され、カメラレス・アニメーションも実用化されつつある今日、本研究にかけたデジタル画像に人間の感性を挿入し、しかも、その再現性が容易な技術を提供できるものとすれば、レンズ系などの光学系を介さず、多目的な画像から任意的な画像子をカバーできる可能性があり、デジタル画像の応用が広がるものと想われる。

今後、さまざまな画像の表現を試行し、ウェザリングをはじめ、強調をもくろんで Fresnel と Fraunhofer 遠近法、実際の場面における有効かどうかのトライアルを重ねて行かねばと思ふ。

6. 終わりに

人間の感性を挿入するため、コンピュータ・グラフィックスは一部分、運動光学的な要素を取り入れることを試みた。もとより、日常生活における、幾何光学で十分物理でさうなものであり、無駄の努力と思われるが、これらは手段に、あるいは対象物とバッタとバッタの境界などに interactive を挿入してみることによつて、より“味のある”画像が得られる感触を得た。今後、数多くのテスト・ランを試みることにF.Z. その可否を明らかにしていく所存である。

一方、本研究を遂行するにあたり、深啟示を賜る、大阪府立大学総合科学部福永節夫教授と高島修直教授に感謝の意を表します。さらに、研究セミナーの場にてお口添助言・深支援を厚いた大阪府立大学総合科学部大学院生の藤下拓二、野口典正の両君、学部生の鶴野玲治、明知暢也から、工学部学部生の田路敬、金山雅一の諸君に心からの御礼を申し上げます。

参考文献

- 1) 山本 強; COMPUTER-GRAPHICS. 1972-12月号 3次元グラフィックス実際
CQ出版 (1983年, 10月).
- 2) M. Born, E. Wolf; Principles of Optics; PERGAMON PRESS, 1970. 4th Ed.